УДК 577.112:27+615.28

ОСОБЕННОСТИ ЭКСПРЕССИИ ХИМЕРНОГО ГЕНА АНТИМИКРОБНОГО ПЕПТИДА ЛЯГУШКИ И ЭНДОЛИЗИНА БАКТЕРИОФАГА К В БАКТЕРИЯХ *ESCHERICHIA COLI*

Н. В. СОВГИР 1), С. Г. ГОЛЕНЧЕНКО 1), В. А. ПРОКУЛЕВИЧ 1)

¹⁾Белорусский государственный университет, пр. Независимости, 4, 220030, г. Минск, Республика Беларусь

Исследовалось клонирование и изучались особенности экспрессии в клетках *E. coli* химерного гена, состоящего из генов антимикробного пептида лягушки (*Rana esculenta* L., 1758) эскулентина и эндолизина бактериофага К семейства Myoviridae. Разработаны праймеры для слияния генов эскулентина и эндолизина стафилококкового бактериофага К для получения химерного белка с гистидиновой меткой на С-конце. Гибридный ген клонирован в клетках бактерий *E. coli* и секвенирован. В результате индукции экспрессии гена установлено внутриклеточное накопление химерного белка эскулентин-С/эндолизин КНіѕ, который синтезируется в клетках *E. coli* преимущественно в нерастворимой форме, однако часть белковых молекул остается растворимой и проявляет литическую активность против живых клеток *Staphylococcus aureus*. Области применения: биотехнология, молекулярная биология, фармацевтика.

Ключевые слова: антимикробные пептиды; эскулентин; эндолизин стафилококкового бактериофага К; фьюжнбелок; антистафилококковая активность; КОЕ.

EXPRESSION FEATURES OF HYBRID GENE OF FROG ANTIMICROBIAL PEPTIDE AND STAPHYLOCOCCAL BACTERIOPHAGE K ENDOLYSIN IN BACTERIA ESCHERICHIA COLI

N. V. SOVGIR^a, S. G. GOLENCHENKO^a, U. A. PRAKULEVICH^a

^aBelarusian State University, Nezavisimosti avenue, 4, 220030, Minsk, Republic of Belarus Corresponding author: sovgirnv@inbox.ru

The aim of this study was cloning and expression analysis of hybrid gene consisted of frog (*Rana esculenta* L., 1758) antimicrobial peptide esculentin gene and the Myoviridae family staphylococcal bacteriophage K endolysin gene in *E. coli* cells. Primers to fuse esculentin and staphylococcal bacteriophage K endolysin genes were designed to obtain the chimeric protein with His-tag at the C-terminus. The hybrid gene was cloned in *E. coli* cells and sequenced. The subsequent

Образец цитирования:

Совгир Н. В., Голенченко С. Г., Прокулевич В. А. Особенности экспрессии химерного гена антимикробного пептида лягушки и эндолизина бактериофага К в бактериях *Escherichia coli* // Журн. Белорус. гос. ун-та. Биология. 2017. № 1. С. 62–70.

For citation:

Sovgir N. V., Golenchenko S. G., Prakulevich U. A. Expression features of hybrid gene of frog antimicrobial peptide and staphylococcal bacteriophage K endolysin in bacteria *Escherichia coli. J. Belarus. State Univ. Biol.* 2017. No. 1. P. 62–70 (in Russ.).

Авторы:

Наталья Владимировна Совгир – ассистент кафедры микробиологии биологического факультета.

Сергей Георгиевич Голенченко – научный сотрудник кафедры микробиологии биологического факультета.

Владимир Антонович Прокулевич – доктор биологических наук, профессор; заведующий кафедрой микробиологии биологического факультета.

Authors:

Natalia Sovgir, assistant at the department of microbiology, faculty of biology.

sovgirnv@inbox.ru

Sergey Golenchenko, researcher at the department of microbiology, faculty of biology.

golenchenko@inbox.ru

Uladzimir Prakulevich, doctor of science (biology), full professor; head of the department of microbiology, faculty of biology.

prokulevich@mail.ru

analysis of gene expression revealed the intracellular accumulation of fusion protein esculentin-C/endolysin KHis. Recombinant protein accumulated in *E. coli* cells predominantly in the insoluble form, but some of protein molecules remained soluble and exhibited antistaphylococcal activity. Applications: biotechnology, molecular biology, pharmaceutics.

Key words: antimicrobial peptides; esculentin; staphylococcal bacteriophage K endolysin; fusion protein; antistaphylococcal activity; CFU (colony forming unit).

Введение

Проблема широкого распространения множественно резистентных штаммов патогенных бактерий остается крайне актуальной для медицины и ветеринарии [1]. Новый класс антибактериальных агентов – антимикробные пептиды (АМП) рассматриваются многими исследователями как потенциальный прорыв в решении данной проблемы [2]. Одними из самых активных АМП являются пептиды группы эскулентинов, выделенные из кожных секретов прудовой лягушки (Rana esculenta L., 1758), в частности эскулентин-1b и его полный функциональный аналог эскулентин-С. Эскулентин-С – это короткий катионный мембранотропный пептид, антимикробное действие которого заключается в нарушении целостности бактериальных мембран. Благодаря низкой специфичности механизма действия эскулентин-С эффективен в отношении широкого спектра инфекционных агентов, включая грамотрицательные и грамположительные бактерии [2–4].

Основное препятствие для широкого применения эскулентинов – сложность их получения: методы выделения из природного источника и химический синтез обеспечивают лишь аналитические количества целевого пептида, а биологический синтез сталкивается с проблемой токсичности продукта для бактерии-продуцента [4; 5]. Между тем существует подход к биотехнологическому синтезу эскулентина в составе рекомбинантных фьюжн-белков. Белок-партнер в таких конструкциях должен обратимо инактивировать эскулентин (например, способствуя образованию нерастворимых агрегатов), в результате чего решается проблема токсичности для продуцента. После накопления достаточного количества продукта АМП может быть реактивирован путем рефолдинга, отщепления от партнера или иным способом.

В настоящей работе белком-партнером эскулентина-С выступал эндолизин стафилококкового бактериофага К — эндолизин К, что обусловлено рядом причин. Во-первых, эндолизин К хорошо экспрессируется в клетках *E. coli*, где накапливается в виде телец включения. Во-вторых, он достаточно крупный (495 а. о.) для того, чтобы экранировать эскулентин в тельцах включения, но в то же время эффективно поддается рефолдингу, что позволяет получить активный продукт в препаративных количествах. В-третьих, данный белок обладает мощнейшим и специфическим литическим действием против живых клеток *Staphylococcus aureus*, что дает возможность использовать его в качестве репортерной метки, позволяющей выявлять пикомолярные количества целевого фьюжн-продукта, если он находится в активной форме [6; 7]. Более того, при отсутствии интерференции активностей эскулентина-С и эндолизина К химерный белок можно будет использовать *tale quale* без дополнительных этапов отрезания и очистки эскулентина. Цель настоящей работы — получение и исследование экспрессии в клетках *E. coli* гибридного белка эскулентин-С/эндолизин KHis, который несет на С-конце гистидиновую метку для металл-хелатной хроматографии.

Материалы и методы исследования

Бактериальные штаммы. Для клонирования рекомбинантных плазмид использовали штамм $E.\ coli$ XL-1Blue (F' proAB lacI q lacZ Δ M15 Tn10(Tc r)/recA1 endA1 gyrA96(Nal r) thi-1 hsdR17supE44 relA1 lac) из коллекции кафедры молекулярной биологии биологического факультета БГУ. Для индуцибельной экспрессии генов в системе экспрессии бактериофага T7 [8] применяли штамм $E.\ coli$ BL21-CodonPlus(DE3)-RIPL (F $^-$ ompT hsdS r_B^- m $_B^-$)dcm + Tet r gal \Box (DE3) endA Hte [argU proL Cam r] [argU ileY leuW Strep/Spec r]) из коллекции кафедры микробиологии биологического факультета БГУ. Штамм $S.\ aureus$ 141 из коллекции научно-исследовательской лаборатории биотехнологии кафедры микробиологии биологического факультета БГУ использовали при определении антистафилококковой активности белка турбидиметрическим методом.

Плазмиды и гены. Ранее сконструированные плазмиды pET-Esc-C [5] и pET-LD3K1 [6], выступающие в качестве матриц в полимеразной цепной реакции (ПЦР), включают кодирующие области генов антимикробного пептида эскулентина-С (141 п. о.) и полноразмерного эндолизина бактериофага К (1485 п. о.) соответственно с модифицированными для усиления экспрессии в клетках бактерий E. coli синонимическими кодонами. Гены esc-C и lysK клонированы по сайтам рестрикции Nde I и Eco RI. Плазмиду pET-24b(+) (Novagen, Великобритания) использовали в качестве вектора для клонирования гибридного гена.

Амплификация генов. Амплификацию проводили при помощи ПЦР в смеси стандартного состава [9] с использованием программируемого термостата Veriti 96 Well Thermal Cycler (*Applied Biosystems*, Великобритания) и реактивов компании *Thermo Scientific* (Литва). В работе использовали праймеры производства фирм *Invitrogen* (США) и *Праймтех* (Беларусь). Дизайн праймеров и их анализ осуществляли при помощи программы *OligoAnalyzer 3.1* [10]. Режим ПЦР с праймерами EscCLysK-F и LysK_R_His: $94 \, ^{\circ}\text{C} - 5 \, \text{мин}$; $94 \, ^{\circ}\text{C} - 30 \, \text{c}$, $60 \, ^{\circ}\text{C} - 30 \, \text{c}$, $72 \, ^{\circ}\text{C} - 30 \, \text{muh}$. Режим ПЦР с праймерами EscCL-F и LysK_R_His: $94 \, ^{\circ}\text{C} - 5 \, \text{миh}$; $94 \, ^{\circ}\text{C} - 30 \, \text{c}$, $62 \, ^{\circ}\text{C} - 30 \, \text{c}$, $72 \, ^{\circ}\text{C} - 3 \, \text{muh}$ ($30 \, \text{циклов}$); $72 \, ^{\circ}\text{C} - 7 \, \text{muh}$.

Генно-инженерные методы и ферменты. Для клонирования использовали ферменты и буферные системы компании *Thermo Scientific*, коммерческие наборы фирмы *QIAGEN* (Германия). Кальциевую трансформацию бактерий *E. coli* и электрофоретический анализ ДНК проводили согласно стандартным методикам [11].

Индукция экспрессии клонированного гена в составе вектора pET-24b(+). Индукцию проводили согласно предложенному производителем плазмид серии pET протоколу [12]. Ночную культуру бактерий $E.\ coli$ разводили в 20 раз и культивировали в колбах с 10 мл полноценного бульона LB, содержащего канамицин (30 мкг/мл) и хлорамфеникол (15 мкг/мл), при 37 °C с аэрацией и перемешиванием (180 об/мин). При оптической плотности ≈1 (A = 600 нм) в среду добавляли синтетический аналог лактозы – ИПТГ (изопропил-β-D-тиогалактопиранозид) до конечной концентрации 0,5 ммоль/л. Оптическую плотность измеряли на спектрофотометре Cary 50 (Varian, США).

Построение кривых роста бактерий и определение титра клеток чашечным методом Коха. Ночную культуру бактерий $E.\ coli$ разводили в 20 раз в 100 мл полноценного бульона LB. Спустя 90 мин культивирования при оптической плотности \approx 0,8 (A = 600 нм) культуры разделяли на две одинаковые порции и в одну из них добавляли ИПТГ до конечной концентрации 0,5 ммоль/л. Оптическую плотность измеряли каждые полчаса на протяжении всего эксперимента с момента разведения ночной культуры. На основе результатов измерений оптической плотности бактериальной культуры в трехкратной повторности вычисляли среднее значение и стандартное отклонение для построения графиков.

Количество колониеобразующих единиц (КОЕ) определяли методом Коха согласно [13] путем высева суспензии микроорганизмов из ряда последовательных разведений в физиологическом растворе на LB-агар, содержащий канамицин (30 мкг/мл) и хлорамфеникол (15 мкг/мл). На основе результатов подсчета КОЕ в трехкратной повторности вычисляли среднее значение и стандартное отклонение для построения графиков.

Разрушение бактериальных клеток. Клетки разрушали набором реактивов B-PER Bacterial Protein Extraction Reagent (*Thermo Scientific*, США) согласно инструкции производителя. Лизаты анализировали электрофоретически.

Электрофоретический анализ клеточных белков E. coli осуществляли в 16 % полиакриламидных гелях (ПААГ) в денатурирующих условиях по методу Laemmli [14]. Гели окрашивали в растворе Кумасси синего R-250. Аминокислотные последовательности белков анализировали по алгоритму, реализованному в программе ProtParam Швейцарского института биоинформатики [15]. Процентное содержание экспрессируемых белков определяли денситометрически, для этого пробы, полученные в результате нескольких (не менее трех) экспериментов по индукции, выравнивали по оптической плотности перед внесением в ПААГ, после электрофореза и окраски гели оцифровывали, а изображения анализировали с использованием программы TotalLab 2.0 фирмы Nonlinear Dynamics Ltd. (Великобритания).

Антистафилококковую активность выявляли в супернатанте лизата клеток, индуцированных при температуре, способствующей повышению растворимости белков (19 °C), по отношению к живым клеткам S. aureus 141 турбидиметрическим методом согласно [7]. В качестве отрицательного контроля суспензию клеток штамма S. aureus 141 ($A_{600} \approx 0,4$) инкубировали с буфером ($CaCl_2$ (10 ммоль/л), трис-HCl (50 ммоль/л), рН 7,5), на основе которого готовили бактериальную суспензию. Положительным контролем являлась инкубация суспензии клеток штамма S. aureus 141 с супернатантом, содержащим эндолизин K. Результаты анализировали на основе графиков изменения оптической плотности бактериальной суспензии (A = 600 нм). Измерения оптической плотности производили на спектрофотометре Cary 50 (Varian).

Результаты исследований и их обсуждение

Получение гибридной генетической конструкции esc-C/lysKHis на основе генов эскулентина-C (esc-C) и полноразмерного эндолизина K (lysK) проводили в процессе двух последовательных ПЦР согласно схеме, представленной на рис. 1. Свойства использованных праймеров приведены в таблице.

Характеристика праймеров для синтеза гибридного гена esc-C/lysKHis Primers for hybrid gene esc-C/lysKHis synthesis

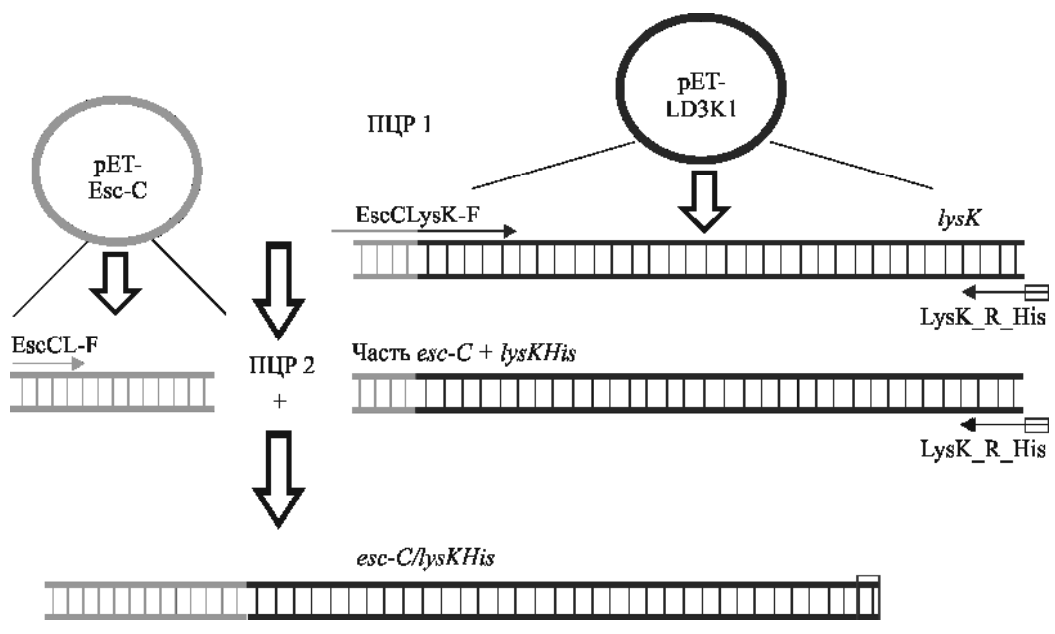
Праймер	Нуклеотидная последовательность 5′-3′	$T_{\rm m}$, °C*	Особенности и дополнительные функциональные участки
Праймер для слияния генов			
EscCLysK-F	attaaaggtgaatgtatggctaaaacccag	42,2/49,3	Комплементарен к 5'-концу гена <i>lysK</i> и 3'-концу гена <i>esc-C</i>
Прямой праймер к гену esc - C			
EscCL-F	gagcatatgggcattttctccaaattg	59,2	Сайт для рестриктазы <i>Nde</i> I: catatg
Обратный праймер к гену <i>lysK</i>			
LysK_R_His	atgctcgagtttgaaaacaccccaagcaa	59,0	Сайт для рестриктазы <i>Xho</i> I: ctcgag

 $^{^*}$ Указана $T_{\rm m}$ (температура плавления праймера) только для участков комплементарности. Жирным шрифтом выделены сайты рестрикции.

В результате первой реакции (рис. 1, ПЦР 1) с помощью праймеров EscCLysK-F и LysK_R_His на матрице рЕТ-LD3K1 синтезировали фрагмент ДНК, содержащий полноразмерный ген *lysK* с небольшим (15 п. н.) участком гена *esc-C* на 5′-конце. Помимо этого, с помощью праймера LysK_R_His стопкодон в конце кодирующей части гена *lysK* заменен на сайт рестрикции *Xho* I, что необходимо для получения белкового продукта с гистидиновой меткой. Продукт первой ПЦР использовали в качестве субстрата для второй (см. рис. 1, ПЦР 2), где он выступал одновременно в роли праймера и матрицы: участок гена *esc-C* на 5′-конце первого продукта образовывал зону комплементарности с 3′-концом гена *esc-C*, благодаря чему происходил синтез гибридной последовательности *esc-C/lysKHis*, затем с помощью праймеров EscCL-F и LysK R His данную последовательность амплифицировали (см. рис. 1).

Полученную таким образом химерную последовательность по сайтам рестрикции $Nde\ I$ и $Xho\ I$ вводили в состав вектора pET-24b(+) и клонировали в клетках бактерий $E.\ coli\ XL$ -1Blue. Наличие целевых вставок во всех клонах проверяли рестрикционным анализом и секвенированием по Сэнгеру.

Следует отметить, что при клонировании по сайтам *Nde* I и *Xho* I в вектор рЕТ-24b(+) химерный ген *esc-C/lysKHis* становится в одну рамку считывания с последовательностью на плазмиде, детерминирующей синтез пептида из шести «плазмидных» остатков гистидина. В результате экспрессирующийся с данной матрицы белковый продукт несет гистидиновую метку на С-конце. Формированию такой метки на С-конце эндолизина К препятствует тандем стоп-кодонов на 3'-конце последовательности гена *lysK*.

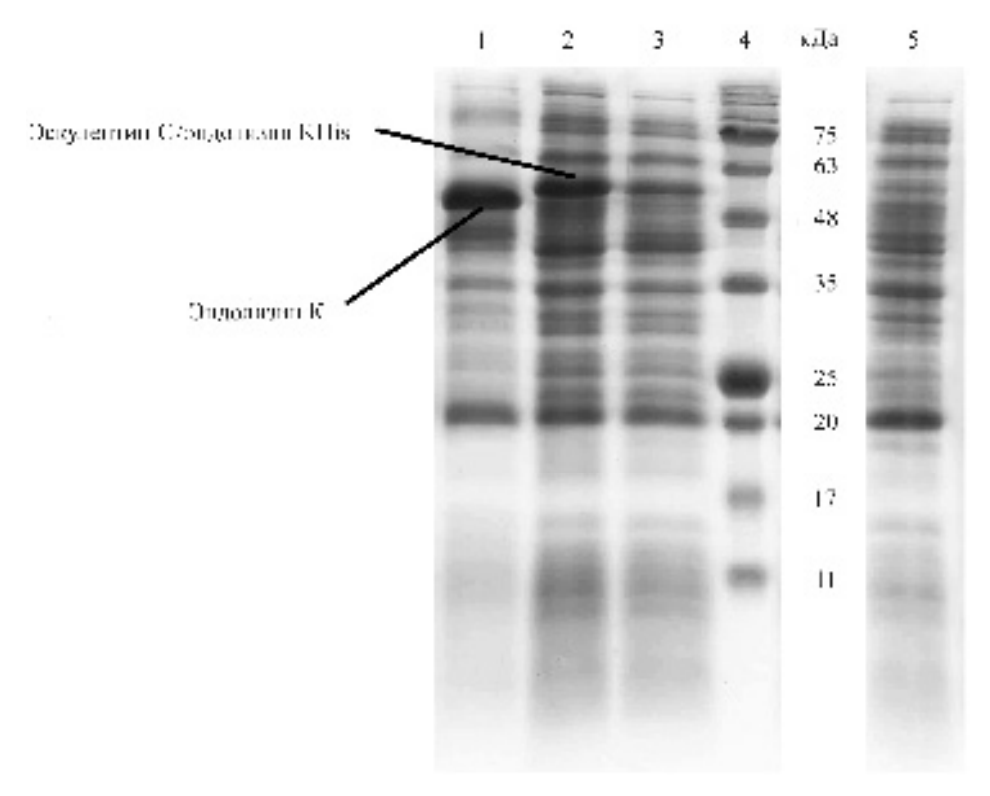


Puc. 1. Схема получения гибридного гена esc-C/lysKHis:
 EscCLysK-F, EscCL-F – прямые праймеры; LysK_R_His – обратный праймер
 Fig. 1. Scheme of hybrid gene esc-C/lysKHis synthesis:
 EscCLysK-F, EscCL-F – forward primers; LysK R His – reverse primer

 $^{{}^*}T_{\rm m}$ (primer melting temperature) indicated only for complementary parts. Restriction sites are highlighted in bold.

Рекомбинантной плазмидой, содержащей химерный ген *esc-C/lysKHis*, трансформировали клетки бактерий *E. coli* BL21-CodonPlus(DE3)-RIPL. Клетки клонов, в которых наличие целевых генов было подтверждено ПЦР, выращивали в течение 4 ч в присутствии ИПТГ для индукции экспрессии, после чего лизаты клеток исследовали электрофоретически.

Результаты электрофоретического анализа суммарных клеточных белков одного из проверенных клонов после индукции представлены на рис. 2. В качестве контролей выступают клетки, несущие собственно ген эндолизина К (см. рис. 2, дорожка 1), выращенные в тех же условиях, а также клетки с химерным геном, выращенные без индуктора (см. рис. 2, дорожка 3). Белковый продукт, соответствующий по массе эскулентину-С (4,8 кДа), в бактериальных клетках не выявляется (см. рис. 2, дорожка 5), что согласуется с утверждением других авторов о невозможности получения индивидуального эскулентина-С путем биосинтеза в клетках $E.\ coli\ [4]$. В клетках, наследующих плазмиду с химерным геном esc-C/lysKHis, после индукции накапливается белок, соответствующий по массе ожидаемому фьюжн-продукту эскулентин-С/эндолизин KHis: 60.5 кДа (см. рис. 2, дорожка 2).



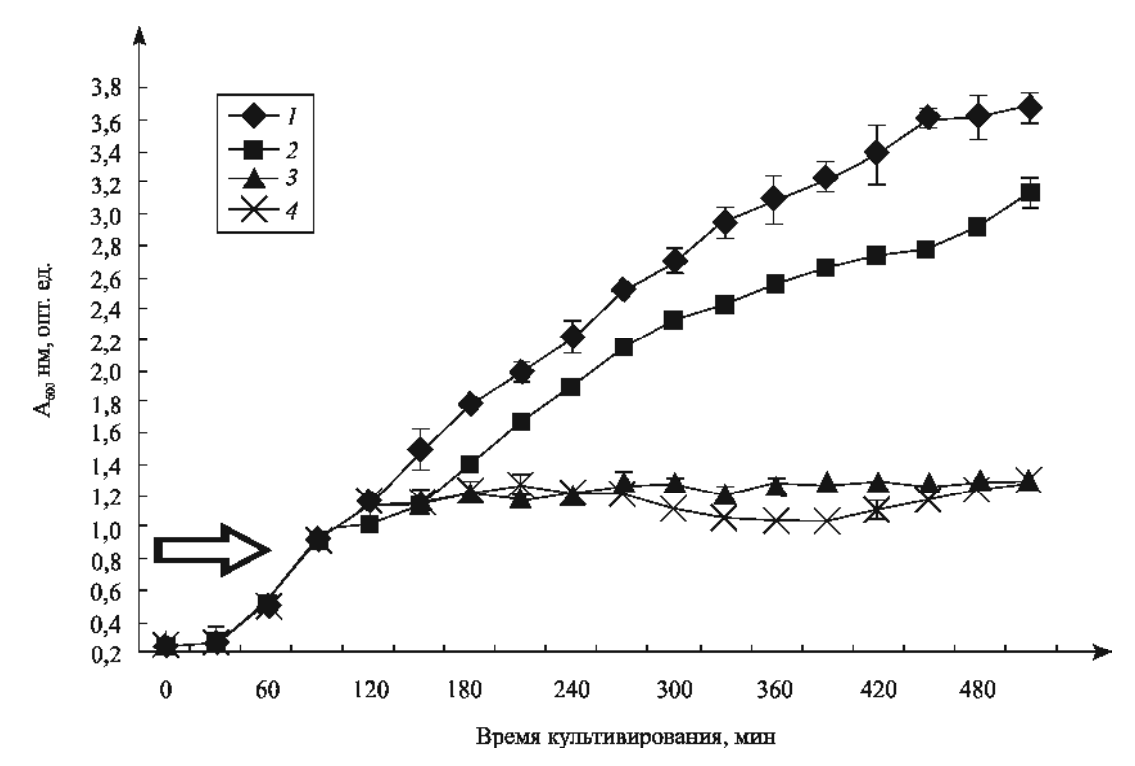
 $Puc.\ 2.\$ Электрофоретический анализ суммарных клеточных белков рекомбинантных штаммов $E.\ coli$ через 4 ч после индукции:

- 1 эндолизин К (0,5 ммоль/л ИПТГ); 2 эскулентин-С/эндолизин КНіз (0,5 ммоль/л ИПТГ);
- 3 эскулентин-С/эндолизин KHis (без ИПТГ, отрицательный контроль); 4 белки-стандарты молекулярных масс (кДа) Blue wide Range Protein Ladder (*Cleaver Scientific Ltd.*, Великобритания); 5 эскулентин-С (0,5 ммоль/л ИПТГ)

Fig. 2. Electrophoretic data for total cellular proteins of E. coli recombinant strains after 4 h induction:
 1 - endolysin K (0.5 mmol/l IPTG);
 2 - esculentin-C/endolysin KHis (0.5 mmol/l IPTG);
 3 - esculentin-C/endolysin KHis (w/o IPTG, negative control);
 4 - Blue wide Range Protein Ladder (Cleaver Scientific Ltd., United Kingdom);
 5 - esculentin-C (0.5 mmol/l IPTG)

По данным денситометрического анализа, содержание химерного белка эскулентин-С/эндолизин КНіѕ в клетках продуцента спустя 4 ч после индукции составляет в среднем $16\% (\pm 0,27)$ общего белка клетки, а интактного эндолизина К достигает 25%.

Эндолизин К является строго специфическим белком и проявляет лизирующую бактерицидную активность только против бактерий S. aureus. Индукция синтеза этого белка в клетках E. coli не влияет на динамику роста бактерий и накопление биомассы (рис. 3, I). Однако индукция синтеза химерного белка, так же как и эскулентина-C, проявляющего антимикробную активность широкого спектра, в том числе в отношении грамотрицательных бактерий, уже через 30 мин после добавления индуктора полностью останавливает накопление биомассы клеток-продуцентов (см. рис. 3, 3 и 4).



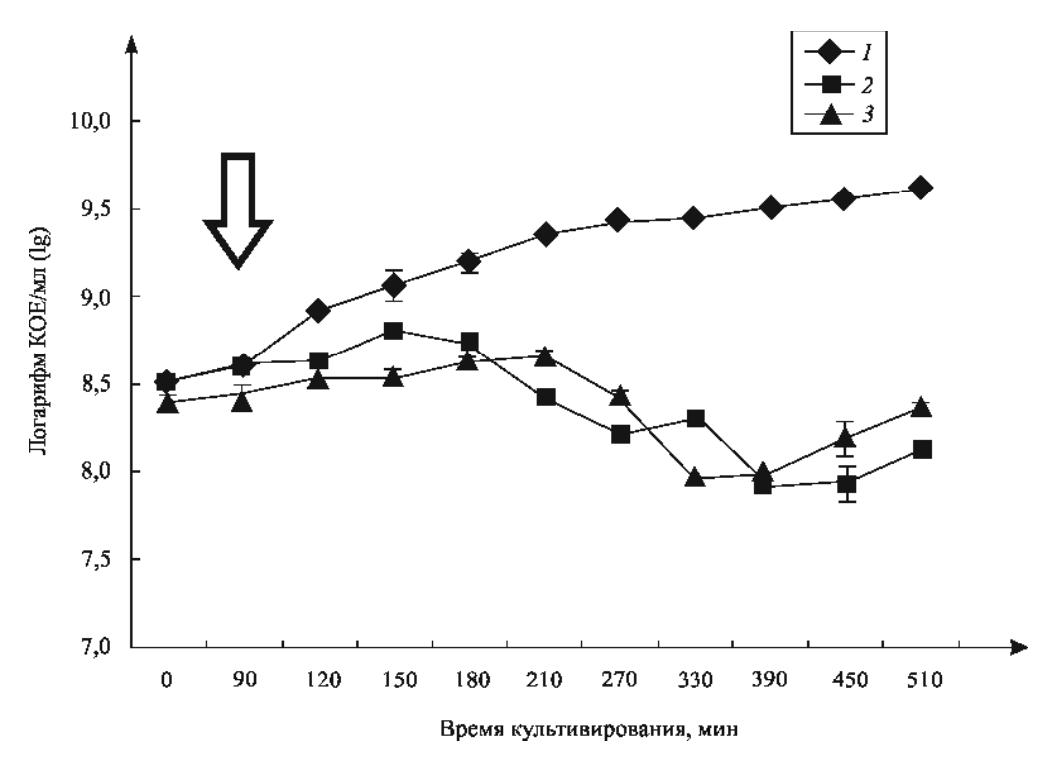
Puc. 3. Изменение оптической плотности культур рекомбинантных штаммов $E.\ coli$ в условиях индукции: I – эндолизин K (0,5 ммоль/л ИПТГ); 2 – эскулентин-C/эндолизин E (без ИПТГ, отрицательный контроль); 3 – эскулентин-E (0,5 ммоль/л ИПТГ); 4 – эскулентин-E (9,5 ммоль/л ИПТГ) при E (0,5 ммоль/л ИПТГ). Стрелкой обозначен момент добавления индуктора (0,5 ммоль/л ИПТГ) при E (0,8 E (0,8 E (0,5 mmol/l IPTG); E – esculentin-E (1,6 mmol/l IPTG), E – esculentin-E (1,6 mmol/l IPTG). Induction time (0.5 mmol/l IPTG) at E (0.8 is indicated by the arrow

Прекращение в условиях индукции накопления биомассы клетками, несущими гены как интактного эскулентина-С, так и химерного белка, сопровождается остановкой роста количества КОЕ (рис. 4, 2 и 3). При этом жизнеспособность бактериальных клеток падает незначительно и восстанавливается после высева бактерий на плотные питательные среды, не содержащие индуктор (ИПТГ), что свидетельствует о бактериостатическом характере наблюдаемого эффекта. Некоторая потеря жизнеспособности индуцированных клеток наблюдается после 5–7 ч культивирования в состоянии индукции на фоне бактериостатического эффекта и, скорее всего, связана с переходом в фазу естественного отмирания (автолиза) неделящихся клеток.

Таким образом, из приведенных данных можно сделать вывод о том, что экспрессия гена антистафилококкового эндолизина К в бактериях *E. coli* происходит с высокой эффективностью (целевой белок составляет до 25 % общего внутриклеточного белка) и накапливаемый белок не влияет на жизнеспособность клеток продуцента. Индукция синтеза антимикробного пептида эскулентина-С в тех же бактериях вызывает бактериостатический эффект, который длится на протяжении всего периода индукции. При этом клетки сохраняют жизнеспособность, их деление восстанавливается при прекращении экспрессии гетерологичного гена в бактериях после высева на питательную среду, не содержащую индуктор. Точно так же ведет себя и химерный белок, т. е. эффект экспрессии эскулентина не меняется при слиянии этого короткого пептида с крупным полноразмерным белком — эндолизином К.

Функциональная целостность эндолизина К в составе фьюжн-белка эскулентин-С/эндолизин КНіз также сохраняется, о чем свидетельствуют данные по высокой антистафилококковой активности супернатантов индуцированных культур клеток – продуцентов эндолизина К (рис. 5, 1) и химерного белка (см. рис. 5, 2), в то время как в контроле оптическая плотность суспензии бактерий *S. aureus* 141 не меняется (см. рис. 5, 3).

Результаты экспериментов по выявлению антистафилококковой активности белка эскулентин-С/эндолизин КНіѕ подтверждают в функциональном тесте, что в клетках-продуцентах синтезируется именно гетерологичный рекомбинантный фьюжн-белок, детерминируемый сконструированным химерным геном, а не близкий ему по массе какой-либо белок *E. coli*.



Puc. 4. Жизнеспособность клеток рекомбинантных штаммов $E.\ coli$ в условиях индукции: I – эндолизин K; 2 – эскулентин-C; 3 – эскулентин-C/эндолизин KHis. Стрелкой обозначен момент добавления индуктора (0,5 ммоль/л ИПТГ) при $A_{600}\approx 0,8$ Fig. 4. The viability of $E.\ coli$ recombinant strains under induction conditions: I – endolysin K; 2 – esculentin-C; 3 – esculentin-C/endolysin KHis. Induction time (0.5 mmol/l IPTG) at $A_{600}\approx 0.8$ is indicated by the arrow

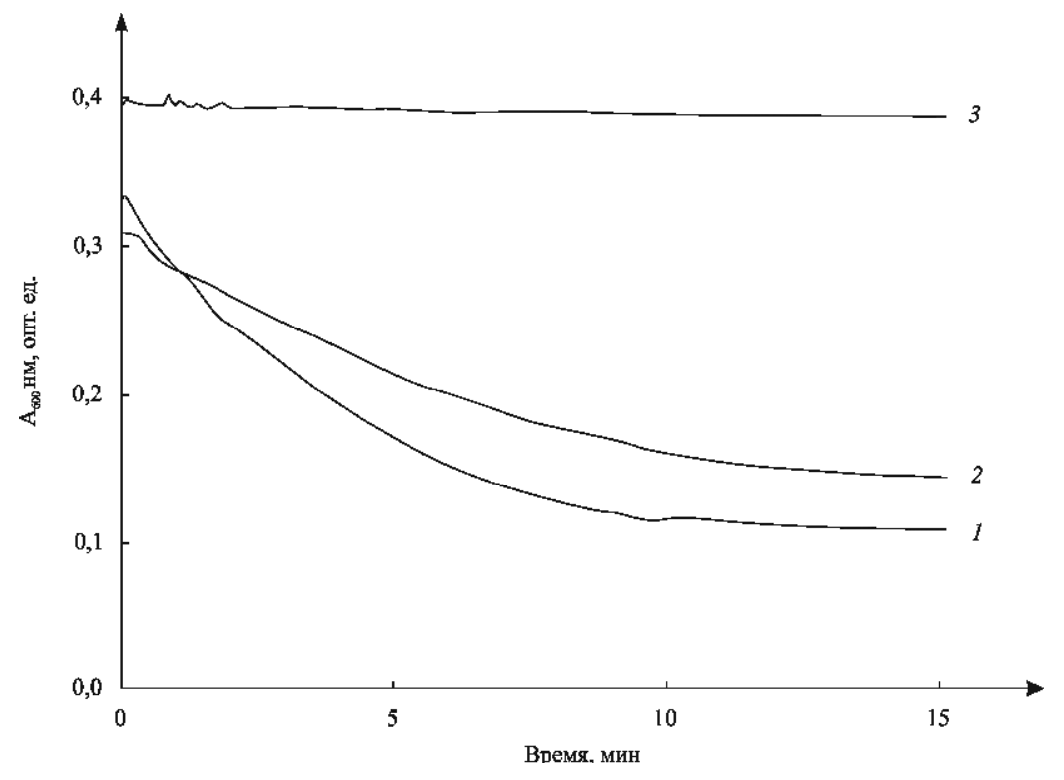
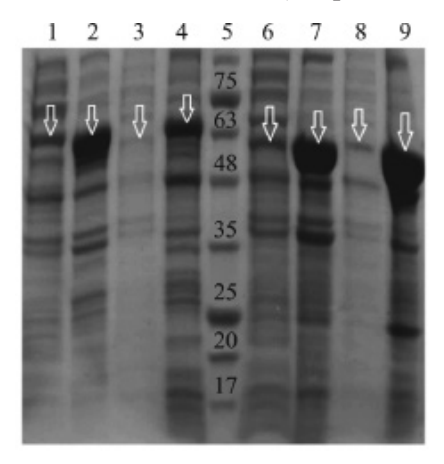


Рис. 5. График изменения оптической плотности суспензии живых клеток штамма S. aureus 141: 1 – инкубация с супернатантом, содержащим эндолизин K; 2 – инкубация с супернатантом, содержащим эскулентин-С/эндолизин KHis; 3 – инкубация с буфером (отрицательный контроль) Fig. 5. Optical density dynamics of S. aureus 141 live cells suspension: I – incubation with supernatant containing endolysin K; 2 – incubation with supernatant containing esculentin-C/endolysin KHis; 3 – incubation with buffer (negative control)

Антистафилококковая активность супернатантов индуцированных культур указывает на возможность экспрессии генов с правильным фолдингом получаемых белков в процессе биосинтеза. Однако обычно при сверхэкспрессии рекомбинантных белков в $E.\ coli$, которая наблюдается в исследуемой системе (от 12 до 25 % — целевые белки), избыточное количество белка переходит в неактивную нерастворимую форму, образуя внутри клеток так называемые тельца включения [16].

В целях определения возможных форм состояния фьюжн-белка эскулентин-С/эндолизин KHis проводили индукцию экспрессии кодирующего его гена при температурах 19 и 37 °С, затем клетки разрушали, центрифугировали, а супернатант и осадок подвергали электрофоретическому анализу (рис. 6). В качестве контроля использовали лизат клеток, экспрессирующих интактный эндолизин К.

Белки эскулентин-С/эндолизин КНіѕ и эндолизин К в клетках *E. coli*, как видно на рис. 6, в основном накапливаются в нерастворимой форме при температуре культивирования как 19 °C, так и 37 °C (см. рис. 6, дорожки 2; 4 и 7; 9 соответственно). Одновременно оба белка также присутствуют в растворимой фракции лизата, но в гораздо меньших количествах (см. рис. 6, дорожки 1; 3 и 6; 8 соответственно).



кДа

Рис. 6. Электрофоретический анализ белков клеточных лизатов бактерий *E. coli* после индукции: 1 – эскулентин-С/эндолизин KHis (супернатант, 19 °C); 2 – эскулентин-С/эндолизин KHis (осадок, 19 °C); 3 – эскулентин-С/эндолизин KHis (супернатант, 37 °C); 4 – эскулентин-С/эндолизин KHis (осадок, 37 °C); 5 – белки-стандарты молекулярных масс (кДа) Blue wide Range Protein Ladder (*Cleaver Scientific Ltd.*, Великобритания); 6 – эндолизин К (супернатант, 19 °C); 7 – эндолизин К (осадок, 19 °C); 8 – эндолизин К (супернатант, 37 °C); 9 – эндолизин К (осадок, 37 °C). Белки эскулентин-С/эндолизин KHis и эндолизин К указаны стрелками

Fig. 6. Electrophoretic data for proteins of E. coli cell lysates after induction:

1 – esculentin-C/endolysin KHis (supernatant, 19 °C); 2 – esculentin-C/endolysin KHis (sediment, 19 °C);

3 – esculentin-C/endolysin KHis (supernatant, 37 °C); 4 – esculentin-C/endolysin KHis (sediment, 37 °C);

5 – Blue wide Range Protein Ladder (Cleaver Scientific Ltd., United Kingdom); 6 – endolysin K (supernatant, 19 °C); 7 – endolysin K (sediment, 19 °C); 8 – endolysin K (supernatant, 37 °C); 9 – endolysin K (sediment, 37 °C). Esculentin-C/endolysin KHis and endolysin K proteins are indicated by the arrows

Заключение

Таким образом, в клетках бактерий $E.\ coli$ в составе стабильно наследуемого вектора клонирован гибридный ген, детерминирующий синтез фьюжн-белка эскулентин-C/эндолизин KHis. Несмотря на то что синтез химерного белка сопровождается бактериостатическим действием на культуру продуцента, химерный белок эффективно накапливается в клетках продуцента преимущественно в нерастворимой форме. Установленные антистафилококковый и бактериостатический против $E.\ coli$ эффекты химерного белка свидетельствуют о том, что в молекуле сохраняются активности, присущие как эскулентину, так и эндолизину K, выступающим в качестве фьюжн-партнеров в созданной конструкции.

Библиографические ссылки

- 1. Anthony A. A., Adekunle C. F., Gulshan S., et al. Antibiotic resistant superbugs: assessment of the interrelationship of occurrence in clinical settings and environmental niches // Molecules. 2017. Vol. 22, № 1. P. 29–45.
- 2. Cappiello F., Di Grazia A., Segev-Zarko L. A., et al. Esculentin-1a-derived peptides promote clearance of Pseudomonas aeruginosa internalized in bronchial cells of cystic fibrosis patients and lung cell migration: biochemical properties and a plausible mode of action // Antimicrob. Agents Chemother. 2016. Vol. 60, № 12. P. 7252–7262.

- 3. Omardien S., Brul S., Zaat S. A. J. Antimicrobial activity of cationic antimicrobial peptides against gram-positives: current progress made in understanding the mode of action and the response of bacteria // Front. Cell Dev. Biol. 2016. Vol. 4, № 111. P. 1–16.
- 4. Ponti D., Mignogna G., Mangoni M. L., et al. Expression and activity of cyclic and linear analogues of esculentin-1, an antimicrobial peptide from amphibian skin // Eur. J. of Biochem. 1999. Vol. 263, № 3. P. 921–927.
- 5. Совгир Н. В., Прокулевич В. А. Клонирование и экспрессия гена антимикробного белка эскулентина-1b (Rana esculenta) в клетках бактерий Escherichia coli // Тр. БГУ. Сер.: Биол., биохим. и мол. основы функционирования биосистем. 2011. Т. 8: в 2 ч. Ч. 1. С. 70–75.
- 6. Голенченко С. Г., Прокулевич В. А. Синтез и экспрессия гена лизирующего фермента стафилококкового бактериофага К в клетках E. coli // Тр. БГУ. Сер.: Физиол., биохим. и мол. основы функционирования биосистем. 2012. Т. 7, ч. 1. С. 199–204.
- 7. Horgan M., O'Flynn G., Garry J., et al. Phage lysin LysK can be truncated to its chap domain and retain lytic activity against live antibiotic-resistant Staphylococci // Appl. Environ. Microbiol. 2009. Vol. 75, № 3. P. 872–874.
- 8. Studier F. W., Moffatt B. A. Use of bacteriophage T7 RNA polymerase to direct selective high-level expression of cloned genes // J. Mol. Biol. 1986. Vol. 189. P. 113–130.
 - 9. McPherson M. J., Moller S. G. PCR. Oxford, 2000.
 - 10. OligoAnalyzer tool [Electronic resource]. URL: http://eu.idtdna.com/calc/analyzer (date of access: 15.02.2015).
 - 11. Маниатис Т., Фрич Э., Сэмбрук Дж. Методы генетической инженерии. Молекулярное клонирование. М., 1984.
- 12. pET Manual system [Electronic resource]. 2005. URL: http://kirschner.med.harvard.edu/files/protocols/Novagen_petsystem.pdf/ (date of access: 02.06.2015).
- 13. Лысак В. В., Желдакова Р. А. Микробиология: метод. рекомендации к лаб. занятиям, контроль самостоят. работы студентов. Минск, 2002.
- 14. *Laemmli U. K.* Cleavage of structural proteins during the assembly of the head of bacteriophage T4 // Nature. 1970. Vol. 227. P. 680–685.
- 15. ProtParam tool [Electronic resource] // Swiss Institute of Bioinformatics. 2014. URL: http://web.expasy.org/protparam/ (date of access: 17.02.2016).
- 16. Singh S. M., Panda A. K. Solubilization and refolding of bacterial inclusion body proteins // J. Biosci. Bioeng. 2005. Vol. 99, № 4. P. 303–310.

References

- 1. Anthony A. A., Adekunle C. F., Gulshan S., et al. Antibiotic resistant superbugs: assessment of the interrelationship of occurrence in clinical settings and environmental niches. *Molecules*. 2017. Vol. 22, No. 1. P. 29–45.
- 2. Cappiello F., Di Grazia A., Segev-Zarko L. A., et al. Esculentin-1a-derived peptides promote clearance of *Pseudomonas aeruginosa* Internalized in bronchial cells of cystic fibrosis patients and lung cell migration: biochemical properties and a plausible mode of action. *Antimicrob. Agents Chemother*. 2016. Vol. 60, No. 12. P. 7252–7262.
- 3. Omardien S., Brul S., Zaat S. A. J. Antimicrobial activity of cationic antimicrobial peptides against gram-positives: current progress made in understanding the mode of action and the response of bacteria. *Front. Cell Dev. Biol.* 2016. Vol. 4, No. 111. P. 1–16.
- 4. Ponti D., Mignogna G., Mangoni M. L., et al. Expression and activity of cyclic and linear analogues of esculentin-1, an antimicrobial peptide from amphibian skin. *Eur. J. Biochem.* 1999. Vol. 263, No. 3. P. 921–927.
- 5. Sovgir N. V., Prokulevich V. A. Cloning and expression of antimicrobial peptide esculentin-1b gene (*Rana esculenta*) in *Escherichia coli* cells. *Tr. BGU. Ser.: Fiziol., biokhim. i mol. osnovy funkts. biosist.* 2011. Vol. 8: in 2 parts. Part 1. P. 70–75 (in Russ.).
- 6. Golenchenko S. G., Prokulevich V. A. Synthesis and expression of staphilococcal phage lysin gene in *E. coli. Tr. BGU. Ser.: Fiziol., biokhim. i mol. osnovy funkts. biosist.* 2012. Vol. 7, part 1. P. 199–204 (in Russ.).
- 7. Horgan M., O'Flynn G., Garry J., et al. Phage Lysin LysK can be truncated to its chap domain and retain lytic activity against live antibiotic-resistant Staphylococci. *Appl. Environ. Microbiol.* 2009. Vol. 75, No. 3. P. 872–874.
- 8. Studier F. W., Moffatt B. A. Use of bacteriophage T7 RNA polymerase to direct selective high-level expression of cloned genes. *J. Mol. Biol.* 1986. Vol. 189. P. 113–130.
 - 9. McPherson M. J., Moller S. G. PCR. Oxford, 2000.
 - 10. OligoAnalyzer tool [Electronic resource]. URL: http://eu.idtdna.com/calc/analyzer (date of access: 15.02.2015).
- 11. Maniatis T., Frich E., Sembruk Dzh. Metody geneticheskoi inzhenerii. Molekulyarnoe klonirovanie [Genetic engineering methods. Molecular cloning]. Moscow, 1984 (in Russ.).
- 12. pET Manual system [Electronic resource]. 2005. URL: http://kirschner.med.harvard.edu/files/protocols/Novagen_petsystem. pdf/ (date of access: 02.06.2015).
- 13. Lysak V. V., Zheldakova R. A. Mikrobiologiya: metod. rekomendatsii k lab. zanyatiyam, kontrol' samostoyat. raboty studentov [Microbiology: guidelines for laboratory work, control of student's individual work]. Minsk, 2002 (in Russ.).
- 14. Laemmli U. K. Cleavage of structural proteins during the assembly of the head of bacteriophage T4. *Nature*. 1970. Vol. 227. P. 680–685.
- 15. ProtParam tool [Electronic resource]. Swiss Inst. Bioinform. 2014. URL: http://web.expasy.org/protparam/ (date of access: 17 02 2016)
- 16. Singh S. M., Panda A. K. Solubilization and refolding of bacterial inclusion body proteins. *J. Biosci. Bioeng.* 2005. Vol. 99. No. 4. P. 303–310.